

3 - 9 関東・東海地域における最近の地殻傾斜変動（2001年5月～2001年10月） Recent Results of Continuous Crustal Tilt Observation in the Kanto-Tokai Area (May,2001-October,2001)

防災科学技術研究所
National Research Institute for Earth Science and Disaster Prevention

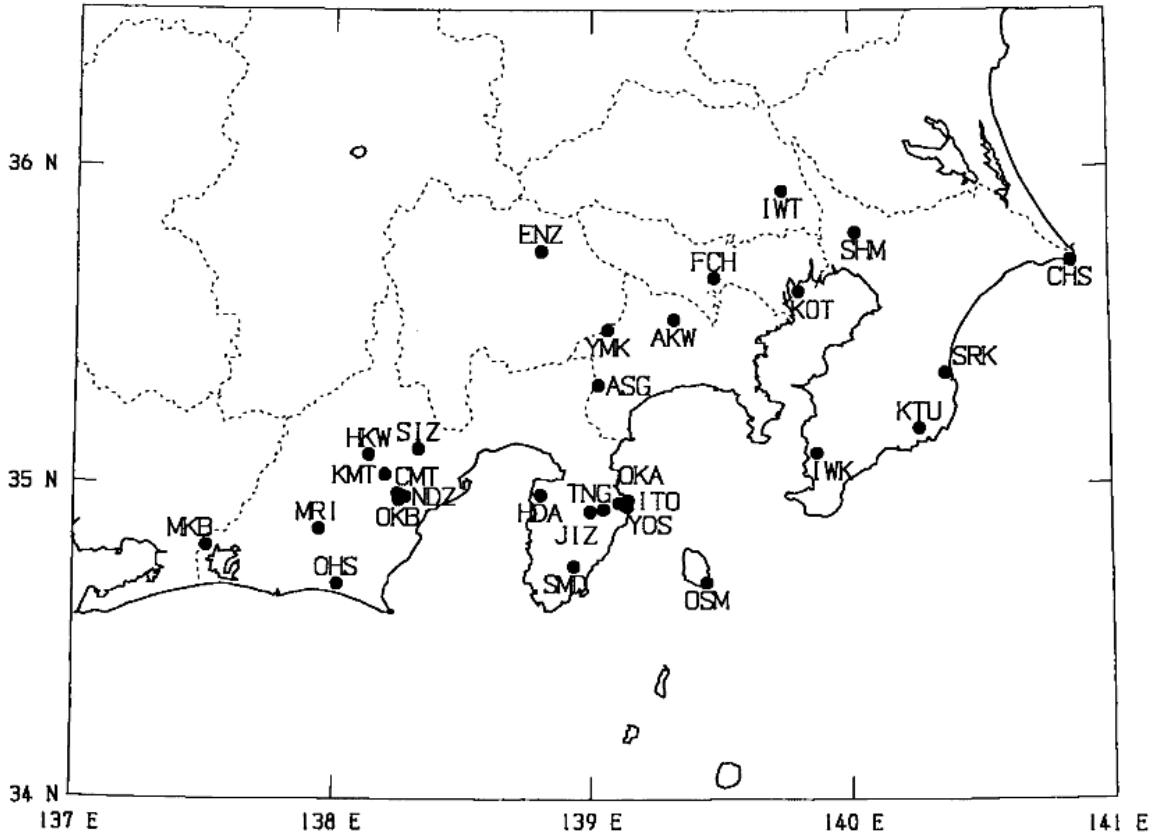
前報に引続き、2001年5月から2001年10月までの地殻傾斜の連続観測結果について報告する。第1図に各観測点の配置とそのステーションコードを示す。第3図に各観測点における傾斜の毎時値と、この毎時値から潮汐成分と気圧成分を潮汐解析プログラムBAYTAP-G¹⁾²⁾を用いて取り除いた値を並べて示す。第3図の配置は、概ね、第1図に示す観測点の西方から東方に向けての順番としている。第3図の下部にはそれぞれの図中の代表点の日降水量を示す。傾斜計の設置方位は、通常第3図に示す傾斜記録の下方向が、南北成分は北下がり、東西成分は東下がりとなるようにしているが、IWT、FCH、SHM、KOTの深層4観測点においては、傾斜記録の下方向が第2図に示すX、Y方向下がりとなっている。また、作図上のフルスケールは通常 $6\mu\text{rad}$.としているが、JIZでは降水の影響が大きいため、これを $30\mu\text{rad}$.としている。

8月と9月には100mmを越す降雨があり、この影響によって変化が生じている。今期間中には目立った傾斜変動は見あたらなかった。

(大久保正・山本英二)

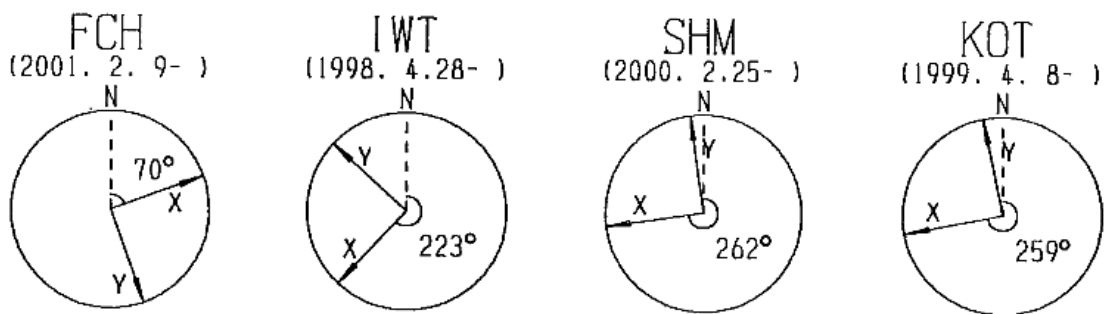
参 考 文 献

- 1) Ishiguro, M., H. Akaike, M. Ooe and S. Nakai: A Bayesian Approach to the Analysis of Earth Tides, Proc. 9th International Symposium on Earth Tides, New York, 1981, 283-292.
- 2) Tamura, Y., T. Sato, M. Ooe and M. Ishiguro: A Procedure for Tidal Analysis with a Bayesian Information Criterion, Geophysical Journal International, 104(1991), 507-516.



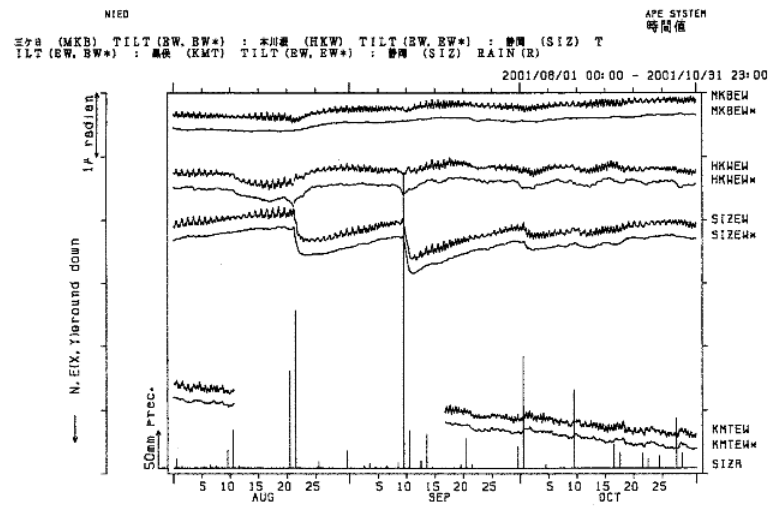
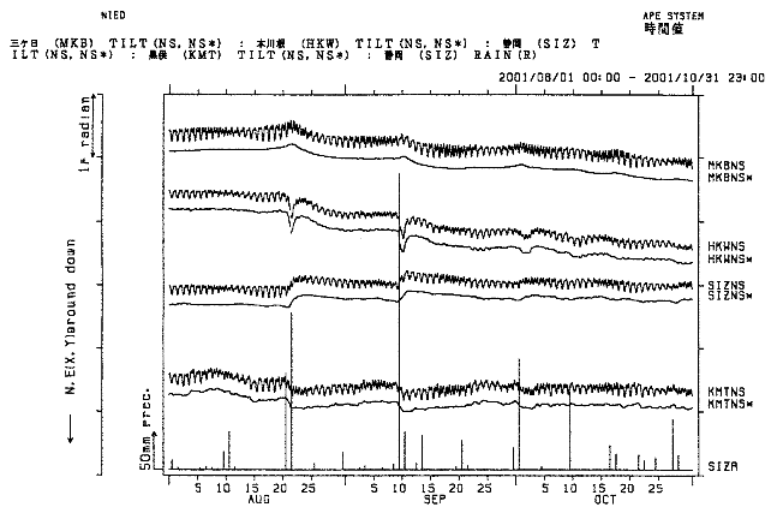
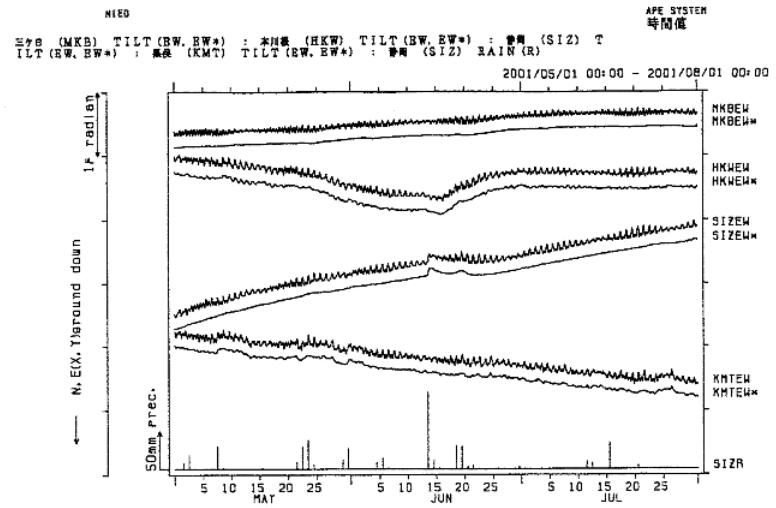
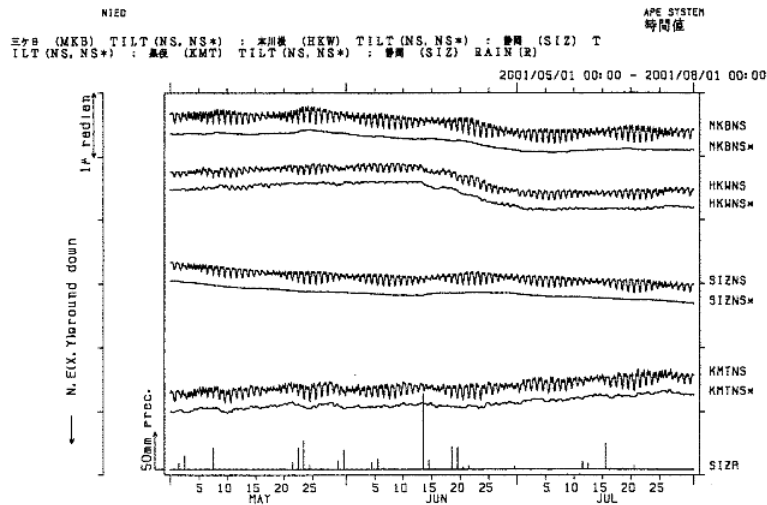
第 1 図 地殻傾斜観測点の分布

Fig.1 Distribution of crustal tilt observation stations.

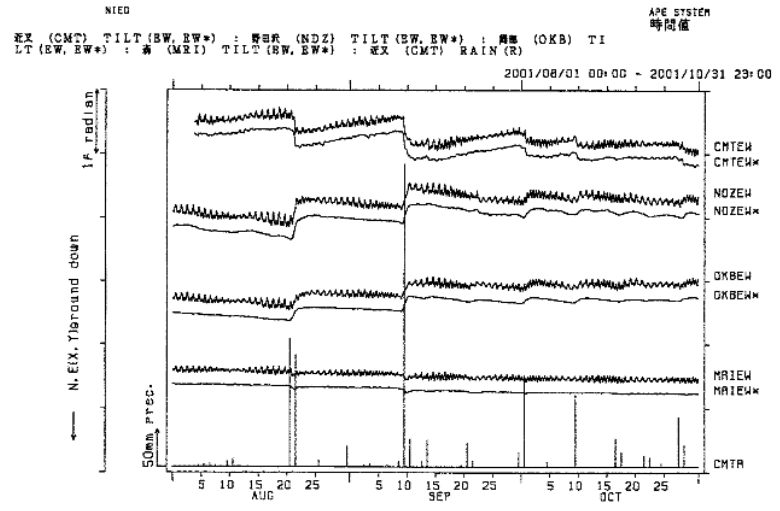
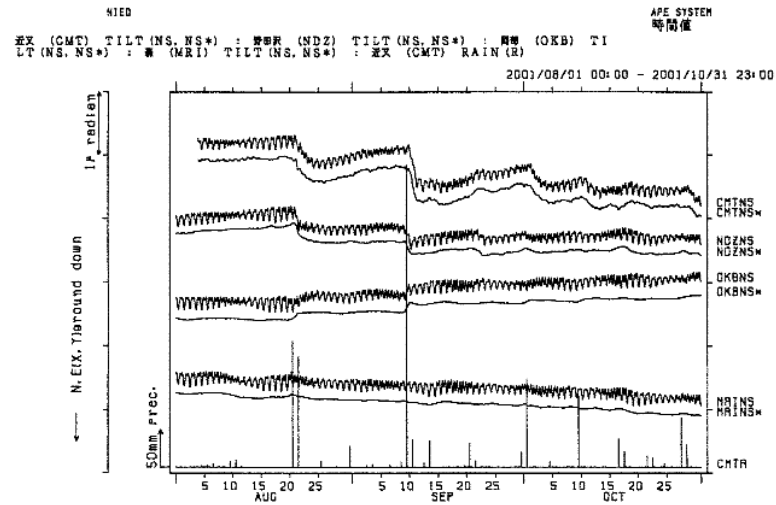
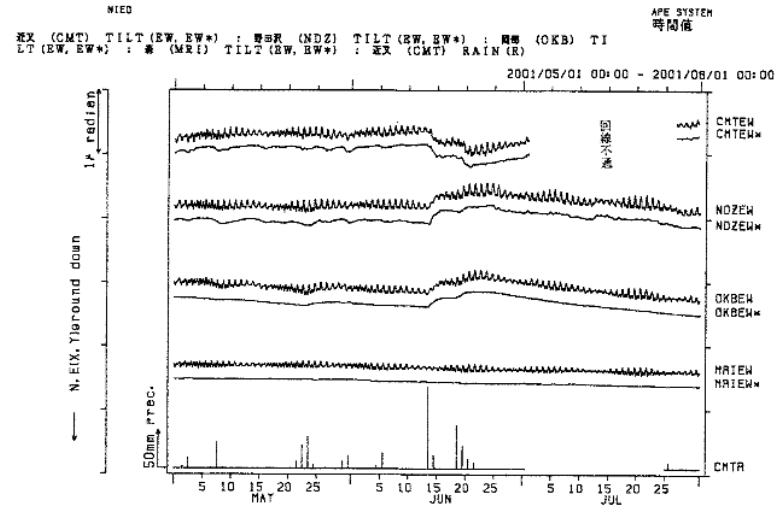
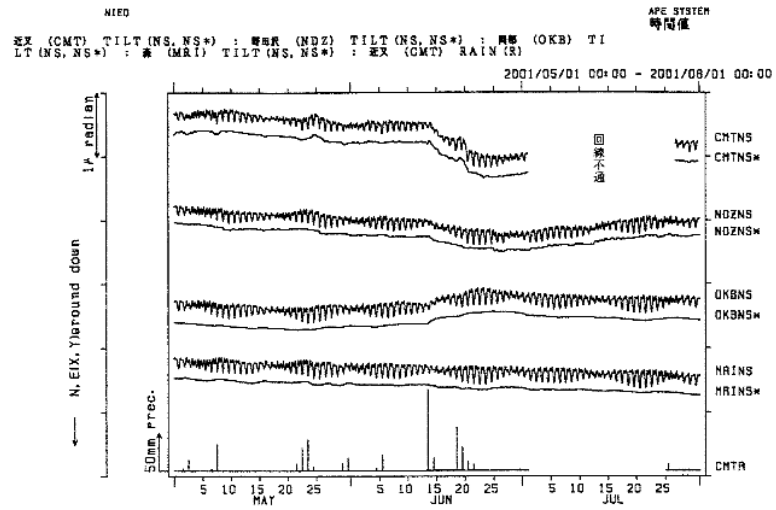


第 2 図 深層及び中層観測点の傾斜計の設置方位

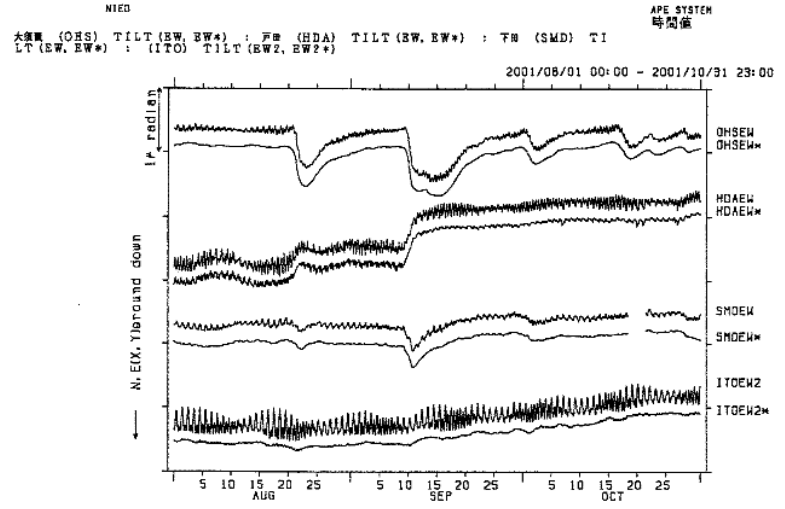
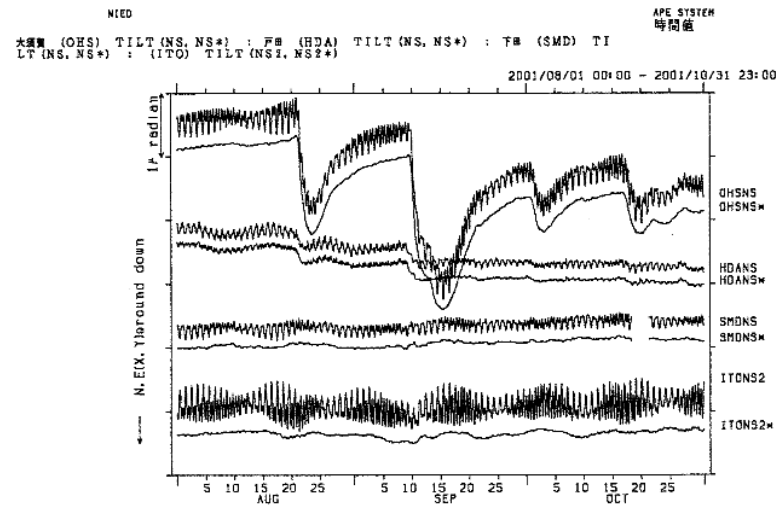
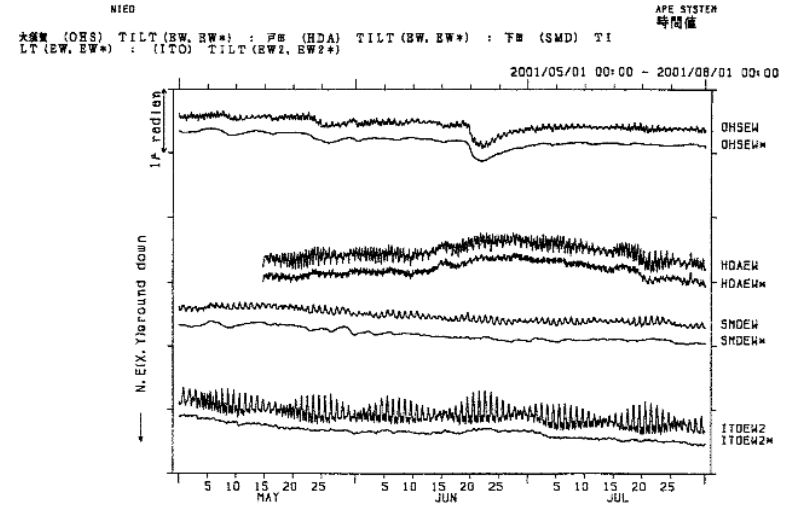
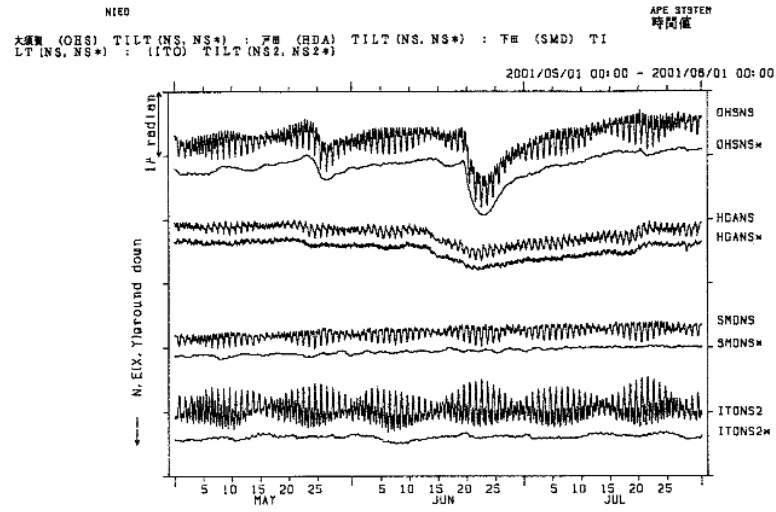
Fig.2 Orientation of deep borehole tiltmeters.



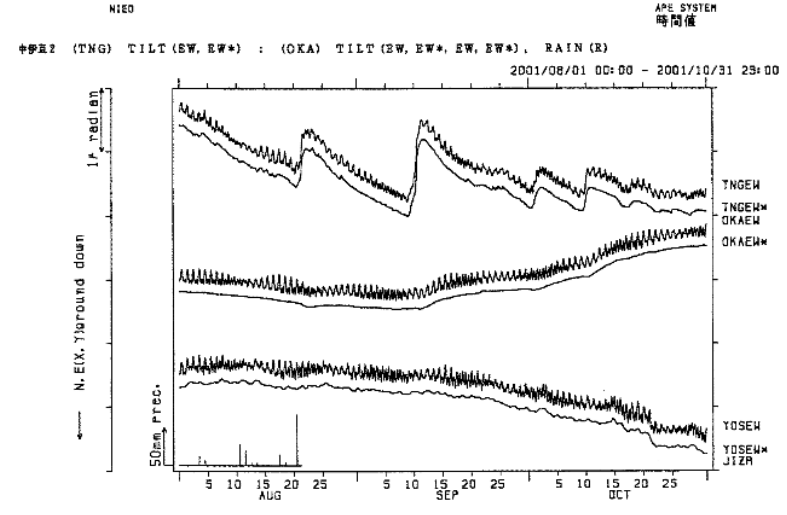
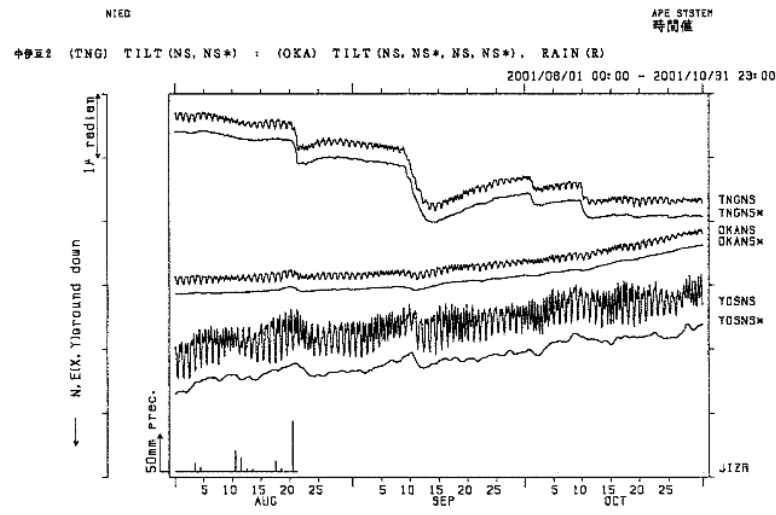
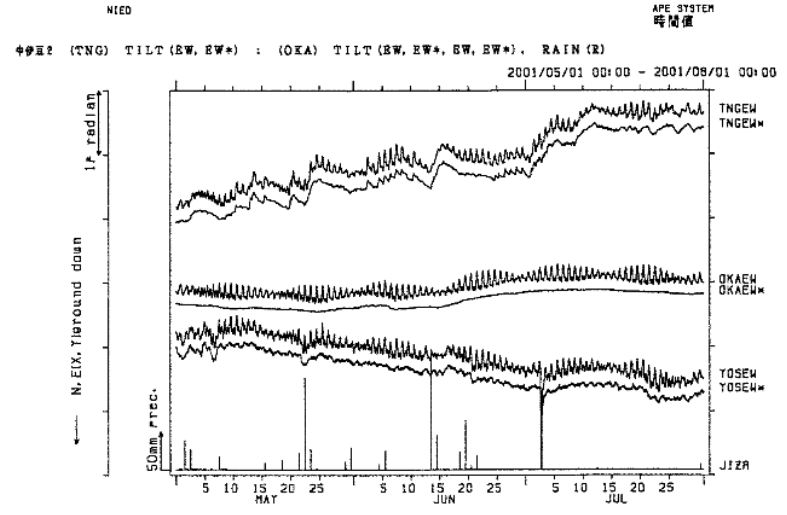
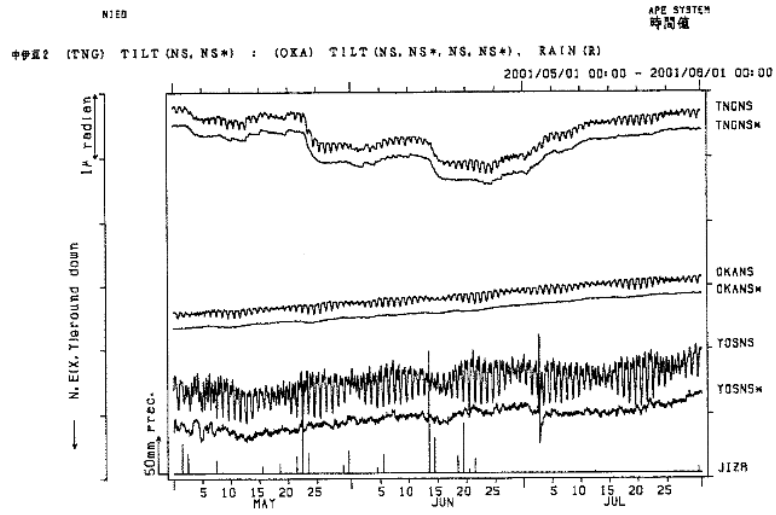
第3図 地殻傾斜の毎時値及び潮汐解析プログラム BAYTAP-G を用いて潮汐成分及び気圧成分を取り除いた値
 Fig.3 Hourly plots of crustal tilt and it's trend decomposed by using the program BAYTAP-G.



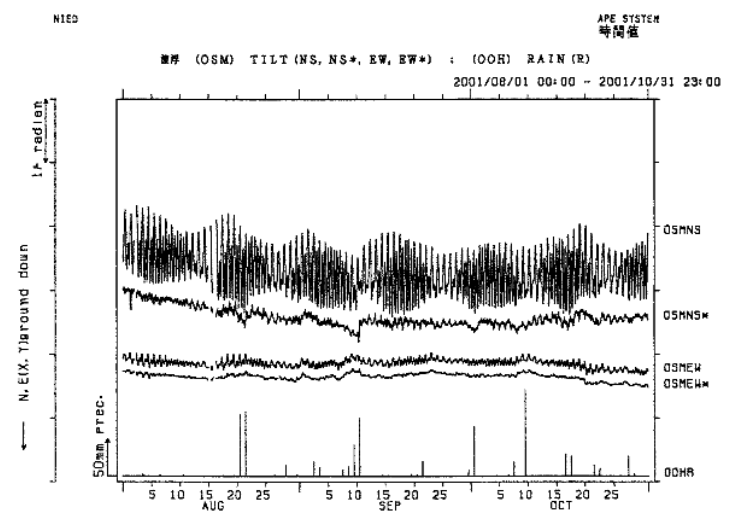
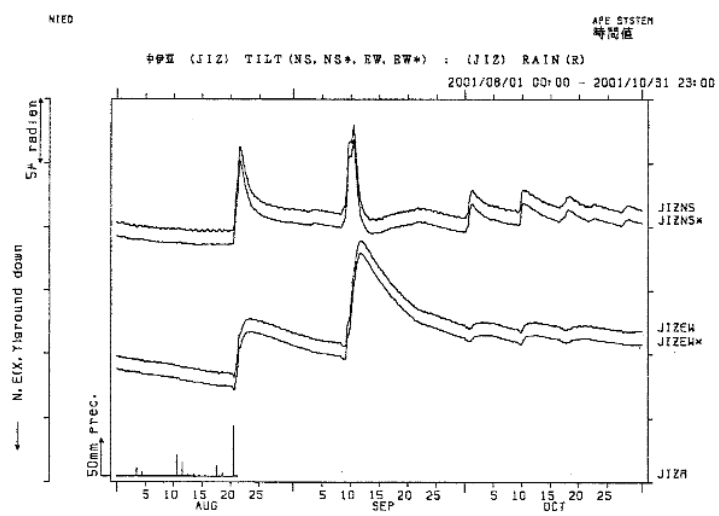
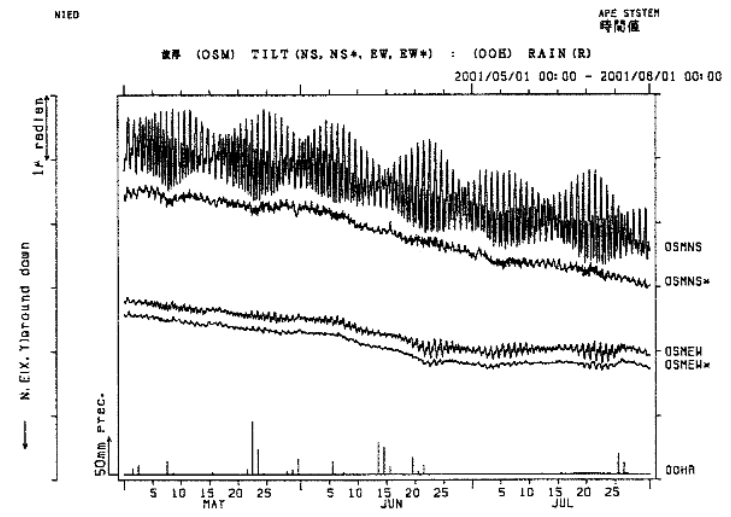
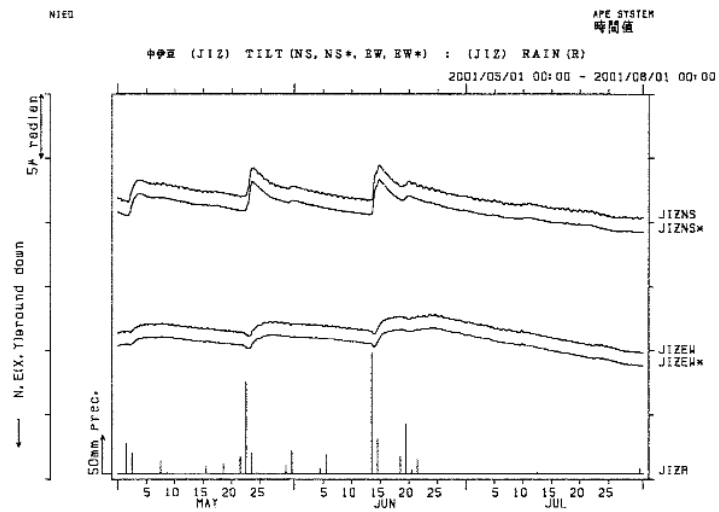
第3図 つづき
Fig.3 (Continued)



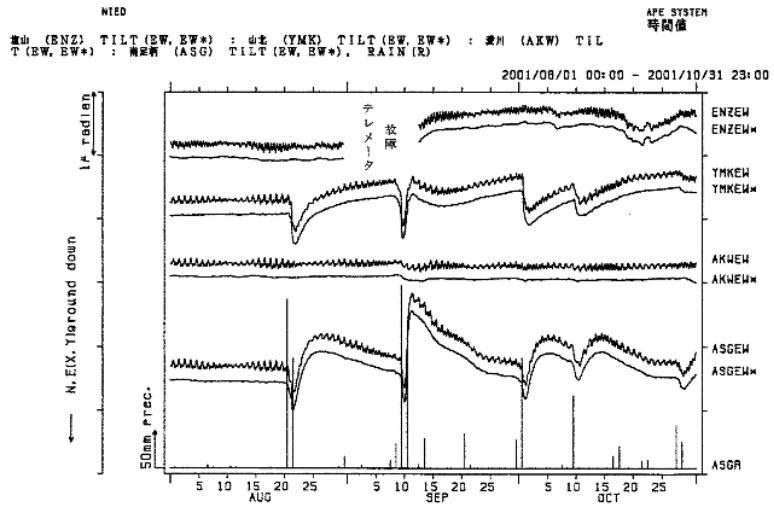
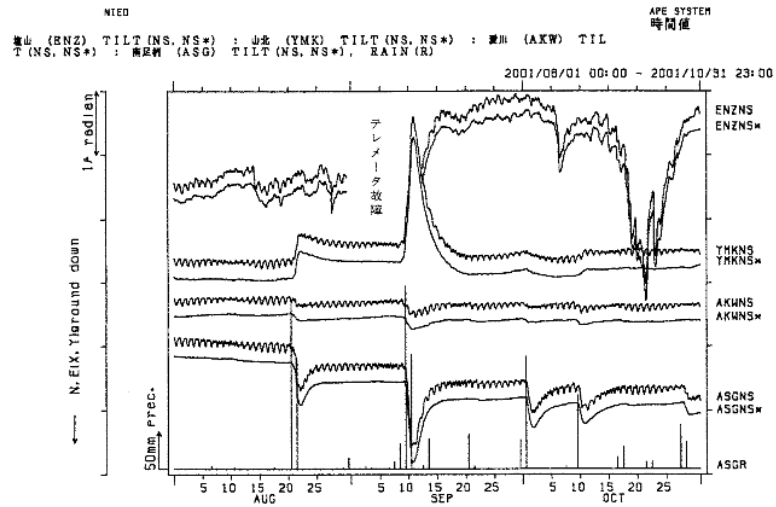
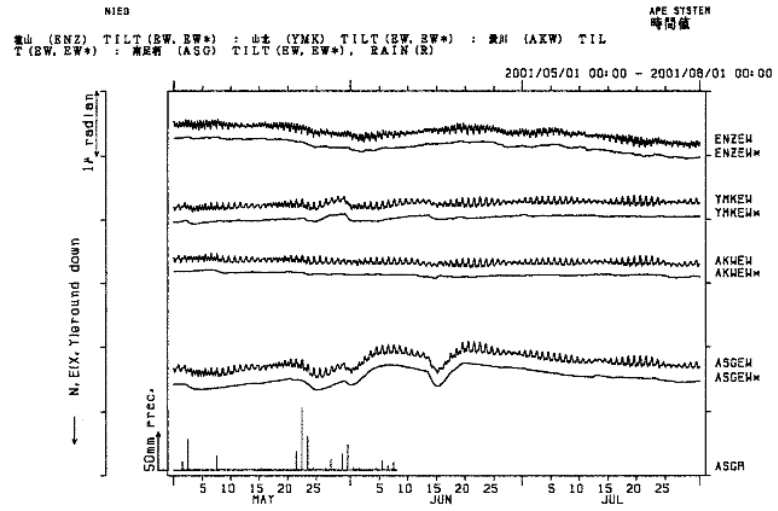
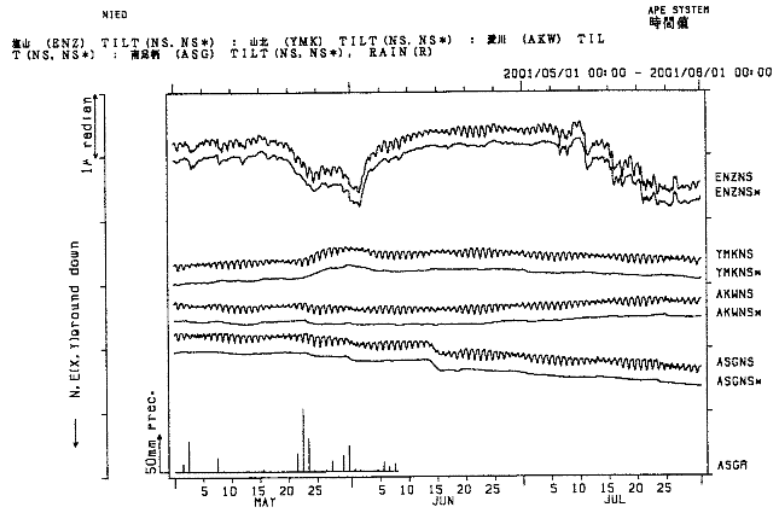
第3図 つづき
Fig.3 (Continued)



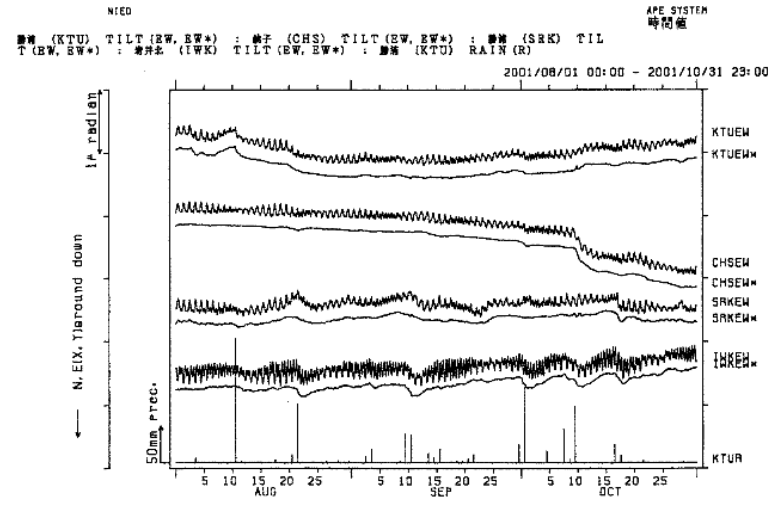
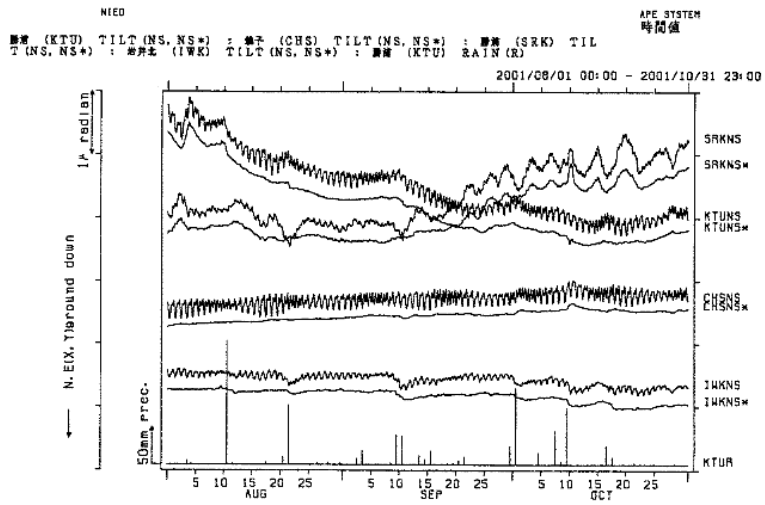
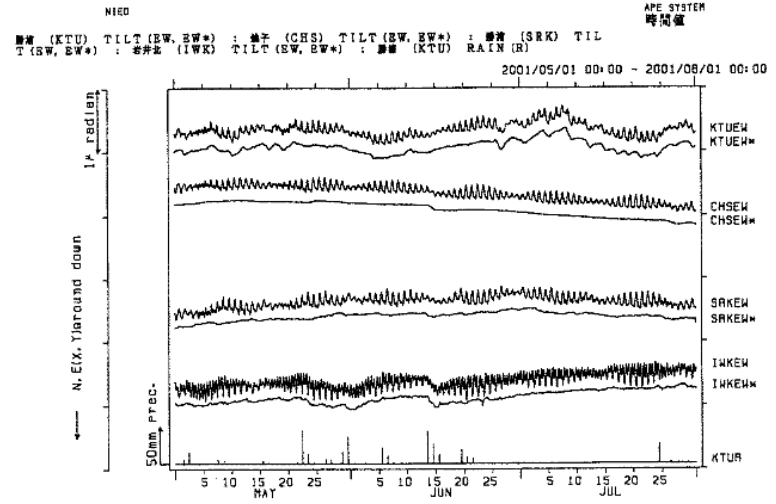
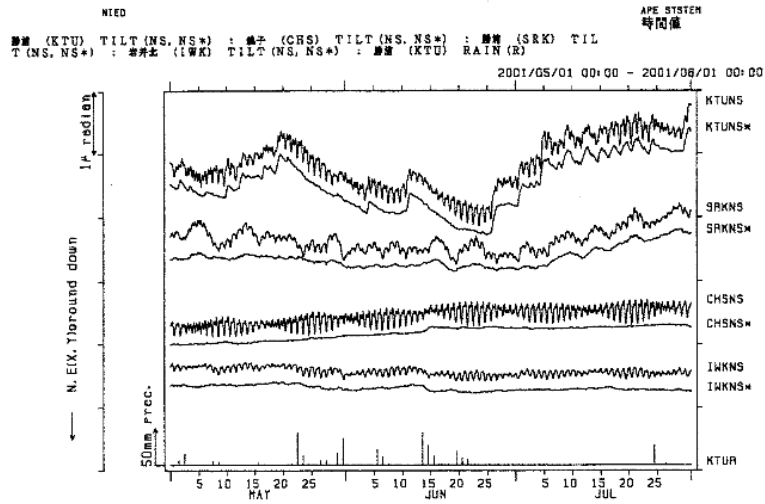
第3図 つづき
Fig.3 (Continued)



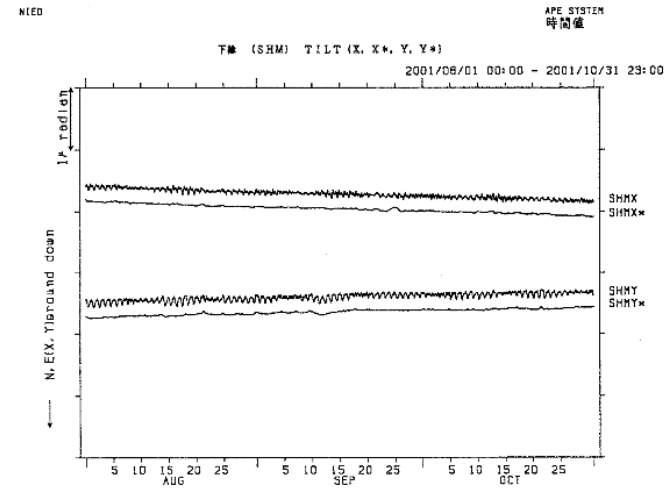
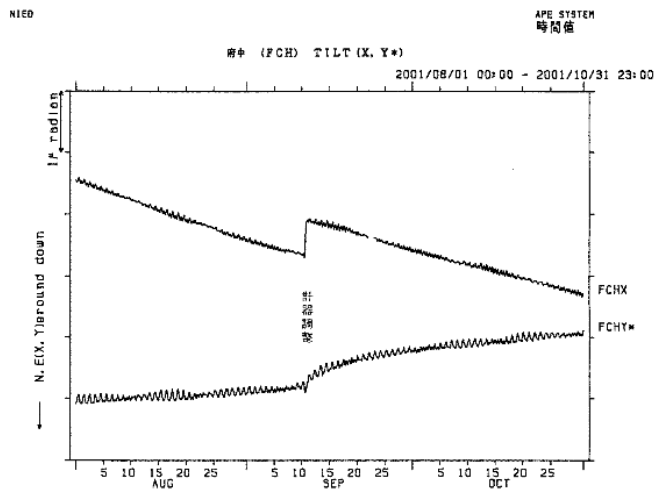
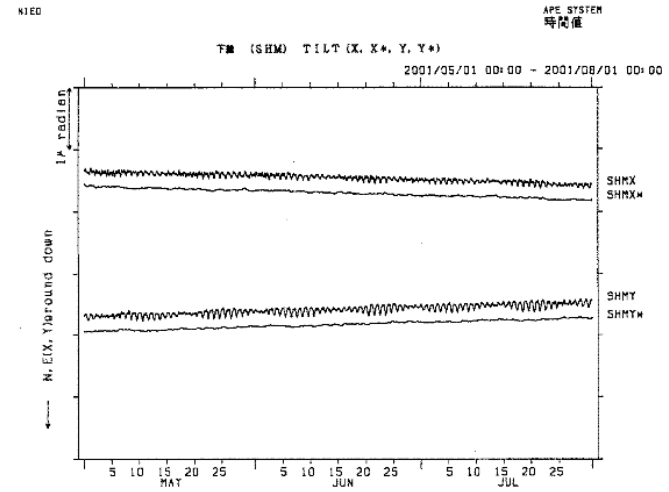
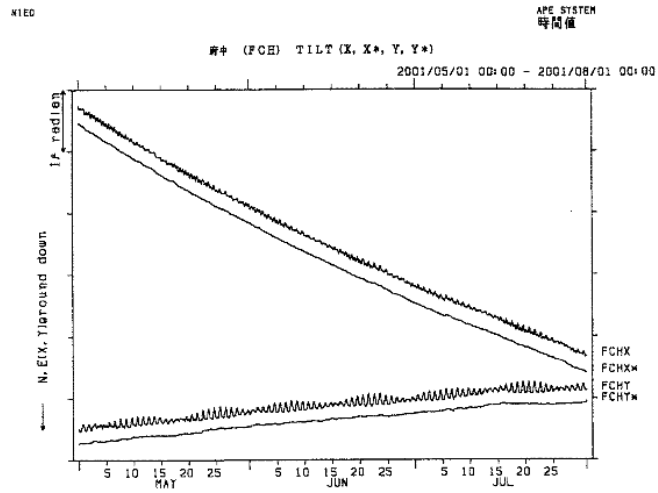
第3図 つづき
Fig.3 (Continued)



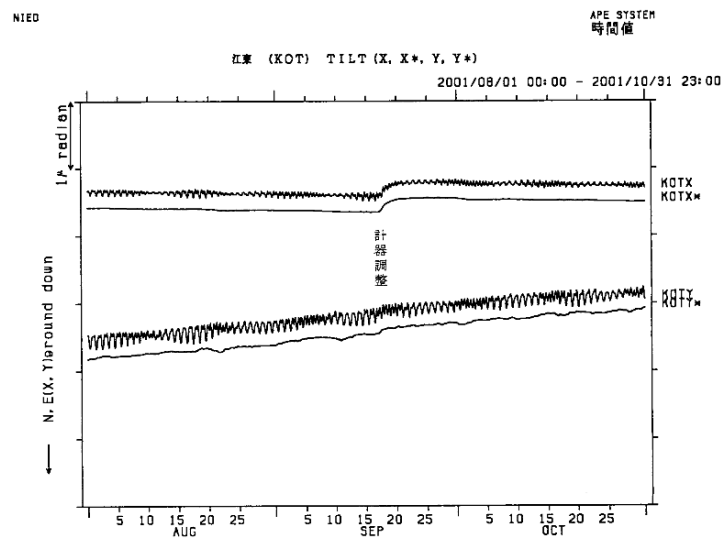
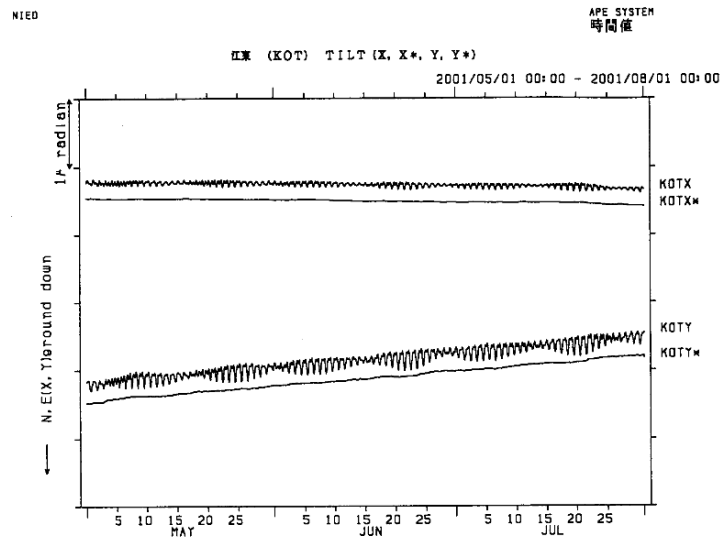
第3図 つづき
Fig.3 (Continued)



第3図 つづき
Fig.3 (Continued)



第3図 つづき
Fig.3 (Continued)



第3図 つづき
Fig.3 (Continued)